

ประสิทธิภาพของกระบวนการกำจัดฟอสฟอรัสทางชีวภาพที่อุณหภูมิต่างกัน

นางสาวปรีชดา เหล่ารุจิจินดา



วิทยานิพนธ์นี้เป็นส่วนหนึ่งของการศึกษาคตามหลักสูตรปริญญาวิทยาศาสตรมหาบัณฑิต

สาขาวิชาวิศวกรรมสิ่งแวดล้อม ภาควิชาวิศวกรรมสิ่งแวดล้อม

บัณฑิตวิทยาลัย จุฬาลงกรณ์มหาวิทยาลัย

ปีการศึกษา 2541

ISBN 974-331-488-1

ลิขสิทธิ์ของบัณฑิตวิทยาลัย จุฬาลงกรณ์มหาวิทยาลัย

**THE EFFICIENCY OF A BIOLOGICAL PHOSPHORUS REMOVAL PROCESS AT
DIFFERENT TEMPERATURES**



Miss Pariyada Laorujijinda

**A Thesis Submitted in Partial Fulfillment of the Requirements
for the Degree of Master of Engineering in Environmental Engineering**

**Department of Environmental Engineering
Graduate School**

Chulalongkorn University

Academic Year 1998

ISBN 974 - 331 - 488 - 1

หัวข้อวิทยานิพนธ์

ประสิทธิภาพของกระบวนการกำจัดฟอสฟอรัสทางชีวภาพที่
อุณหภูมิต่างกัน

โดย

นางสาวปรีดา เหล่ารุจิจินดา

ภาควิชา

วิศวกรรมสิ่งแวดล้อม

อาจารย์ที่ปรึกษา

ศาสตราจารย์ ดร. ธงชัย พรรณสวัสดิ์

บัณฑิตวิทยาลัย จุฬาลงกรณ์มหาวิทยาลัย อนุมัติให้นับวิทยานิพนธ์ฉบับนี้เป็นส่วนหนึ่ง
ของการศึกษาตามหลักสูตรปริญญาวิทยาศาสตรบัณฑิต



คณบดีบัณฑิตวิทยาลัย

(ศาสตราจารย์ นายแพทย์ สุภวัฒน์ ชูติวงศ์)

คณะกรรมการสอบวิทยานิพนธ์



ประธานกรรมการ

(รองศาสตราจารย์ ไพพรรณ พรประภา)



อาจารย์ที่ปรึกษา

(ศาสตราจารย์ ดร. ธงชัย พรรณสวัสดิ์)



กรรมการ

(อาจารย์บุญยง โถ่หวังควัฒน)



กรรมการ

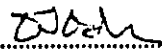
(ผู้ช่วยศาสตราจารย์ ดร. สุทธิรักษ์ สุจริตตานนท์)

ปริยดา เหล่ารัฐจินดา : ประสิทธิภาพของกระบวนการกำจัดฟอสฟอรัสทางชีวภาพที่อุณหภูมิต่างกัน (The Efficiency of a Biological Phosphorus Removal Process at Different Temperatures) อ.ที่ปรึกษา : ศ.ดร. ธงชัย พรหมเดวีวงศ์ ; 283 หน้า. ISBN 974 - 331 - 488 - 1 .

งานวิจัยนี้เป็นการศึกษาผลของอุณหภูมิต่อประสิทธิภาพในการกำจัดฟอสฟอรัสของกระบวนการแอน-แอโรบิก - แอโรบิก ซึ่งในที่นี้เลือกให้เป็นแบบเฮตปีอาร์ โดยทำการทดลองที่อุณหภูมิ 5, 15, 25, 35 และ 40 องศาเซลเซียส ใช้น้ำเสียสังเคราะห์ที่มีค่าซีไอดี 300 มก./ล. ทีเคเอ็น 15 มก./ล. และฟอสฟอรัส 15 มก./ ล.(100:5:5) เพื่อกระตุ้นให้เกิดจุลชีพที่สามารถสะสมฟอสฟอรัสได้มาก (Phosphorus Accumulating Organisms-PACs) แต่ไม่มีผลต่อไนตริฟายอิงแบคทีเรีย (nitrifying bacteria) จุลินทรีย์ที่ประกอบด้วยวัฏจักรแบบเฮตปีอาร์ที่ควบคุมอุณหภูมิอัตโนมัติขนาด 16.8 ลิตรของชุด เครื่องแบบที่ค่าอายุเฉลี่ย 12 วัน วัฏจักรการทำงาน 12 ชั่วโมง ประกอบด้วยช่วงแอนแอโรบิก 4 ช.ม. 50 นาที ช่วงแอโรบิก 6 ช.ม. ช่วงตกตะกอน 1 ช.ม. ช่วงเติมและระบายน้ำเสีย 10 นาที เชื้อที่ใช้ในการทดลองเป็นเชื้อผสมจากสลัดจ์ของโรงบำบัดน้ำเสียที่พระยาเคมด้วยเชื้อ *Pseudomonas fluorescens* และ *Actinobacter calcoaceticus* ที่ถูกเพาะเป็นเวลานาน 7 เดือน จนมีจุลชีพกลุ่มทีเอโอมากพอ แล้วจึงนำมาเลี้ยงให้ชินกับอุณหภูมินั้นๆ เป็นเวลาประมาณ 1-1.5 เดือนก่อนการทดลองหาประสิทธิภาพของระบบ

อุณหภูมิมีผลต่อประสิทธิภาพการกำจัดฟอสฟอรัส โดยที่อุณหภูมิ 5, 15, 25, 35 และ 40 องศาเซลเซียส ประสิทธิภาพการกำจัดฟอสฟอรัสจะลดลงจากร้อยละ 100, 100, 100 และ 72 เป็น 61 ตามลำดับ ปริมาณฟอสฟอรัสในเซลล์หรือในเอ็มแอลวีเอสเอส (mixed liquor volatile suspended solids, MLVSS)ก็ลดลงจากร้อยละ 10.8 เป็น 10.4, 5.5, 3.1 และ 3.5 ตามลำดับ เช่นเดียวกัน ส่วนการกำจัดซีไอดีกรองพบว่าอุณหภูมิมีผลต่อประสิทธิภาพการกำจัดเพียงเล็กน้อย ทั้งนี้เพราะมีค่าอายุเฉลี่ยยาวพอ กล่าวคือ 12 วัน สำหรับทั้งระบบ หรือ 5.5 และ 6.5 วัน สำหรับช่วงแอนแอโรบิก และแอโรบิกตามลำดับ โดยประสิทธิภาพการกำจัดเป็นร้อยละ 99, 99, 97, 99 และ 93 ณ อุณหภูมิดังกล่าวตามลำดับ ทั้งนี้ที่อุณหภูมิ 40 องศาเซลเซียสถือว่าสูงเกินไปสำหรับจุลชีพ ประสิทธิภาพจึงลดลงเล็กน้อย

นอกจากนี้พบว่าประสิทธิภาพการกำจัดทีเคเอ็นเป็นร้อยละ 67, 89, 95, 94 และ 57 ตามลำดับ เห็นได้ว่า ประสิทธิภาพในการกำจัดเพิ่มขึ้นเมื่ออุณหภูมิสูงขึ้นจนถึงระดับหนึ่ง เมื่ออุณหภูมิสูงเกินไป (40 องศาเซลเซียส) ประสิทธิภาพการกำจัดกลับลดลงมาก ส่วนประสิทธิภาพการกำจัดไนโตรเจนทั้งหมดเป็นร้อยละ 63, 62, 73, 60 และ 49 ตามลำดับ (อย่างไรก็ตาม งานวิจัยนี้ไม่ได้มุ่งกำจัดไนโตรเจนทั้งหมด จึงไม่ได้ปรับให้มีชั้นคอนแอนีอกซิกให้เหมาะสมกับการเกิดดีไนตริฟิเคชัน) นอกจากนี้ยังพบว่าที่อุณหภูมิ 35 องศาเซลเซียส ระบบมีปริมาณเอ็มแอลเอสเอสมากกว่าที่อุณหภูมิ 15 องศาเซลเซียสมาก (2,688 มก./ล. และ 1,199 มก./ ล.ตามลำดับ) แต่ระบบกลับมีประสิทธิภาพการกำจัดฟอสฟอรัสต่ำกว่า คาดว่าเป็นเพราะเชื้อที่เติบโตที่อุณหภูมิ 35 องศาเซลเซียส มีอัตราส่วนของจุลชีพกลุ่มจีโอโอ (Glycogen Accumulating Organisms-GAOs) และโอเอชโอ(OHOs)ในมวลจุลชีพทั้งหมดเพิ่มขึ้น สรุปได้ว่าที่อุณหภูมิค่า (5, 15, 25 องศาเซลเซียส) ระบบจะมีประสิทธิภาพการกำจัดฟอสฟอรัสทางชีวภาพมากกว่าที่อุณหภูมิสูง (35 และ 40 องศาเซลเซียส) ซึ่งหมายความว่ากำจัดฟอสฟอรัสในประเทศเราจะทำได้ไม่ดีกว่าในประเทศเขตนหนาว

ภาควิชา	วิศวกรรมสิ่งแวดล้อม	ลายมือชื่อนิสิต	ปริยดา เหล่ารัฐจินดา
สาขาวิชา	วิศวกรรมสิ่งแวดล้อม	ลายมือชื่ออาจารย์ที่ปรึกษา	
ปีการศึกษา	2541	ลายมือชื่ออาจารย์ที่ปรึกษาร่วม	

C817962 : MAJOR ENVIRONMENTAL ENGINEERING
KEY WORD: BIOLOGICAL PHOSPHORUS REMOVAL / TEMPERATURE EFFECT / BPR
PARIYADA LAORUJINDA : THE EFFICIENCY OF A BIOLOGICAL PHOSPHORUS
REMOVAL PROCESS AT DIFFERENT TEMPERATURES. THESIS ADVISOR : PROF.
THONGCHAI PANSWAD, Ph.D. 283 pp. ISBN 974 - 331 - 488 - 1.

The purpose of this research was to study the effect of temperature at 5, 15, 25, 35 and 40°C on the efficiency of biological phosphorus removal (BPR) by an Anaerobic/Aerobic SBR process. The synthetic wastewater with COD, TKN and P of 300, 15 and 15 mg/l (100:5:5), respectively, was used to promote the proliferation of Phosphorus Accumulating Organisms (PAOs) but not nitrifiers. The experimental setup included two 16.8 l automatic temperature-controlled SBR reactors. The sludge age was controlled at 12 days and the cycle time was 12 hrs (4:50 hrs anaerobic, 6 hrs aerobic, 1 hr settling and 10 minutes influent feed and effluent withdrawal). The activated sludge from the Si Phraya sewage treatment plant and the pure culture of *Pseudomonas fluorescens* and *Acinetobacter calcoaceticus* were cultivated for approximately 7 months after which PAOs were in abundance. The said mixed culture was then acclimatized for 1-1.5 months with the synthetic wastewater and operated at the designated temperatures before the process performance was investigated.

Apparently, the temperature directly affected the phosphorus removal efficiency, i.e., at 5, 15, 25, 35 and 40°C, the P removal efficiencies dropped from 100, 100, 100 and 72 to 61 percent, respectively. The P content in mixed liquor volatile suspended solids (MLVSS) was 10.8, 10.4, 5.5, 3.1 and 3.5 percent for the same cases, respectively. This clearly showed that the PAOs proliferated better at lower temperatures. The temperature had, however, less impact on the filtered COD removal efficiency; it was apparently 99, 99, 97, 99 and 93 percent, respectively. This is due to the sufficiently long HRT and SRT (12 days overall and 5.5, 6.5 days for the anaerobic and aerobic stage, respectively) of the systems. The excessive temperature of 40°C was, however, unfavorable for the process.

The TKN removal efficiencies at the said temperatures were 67, 89, 95, 94 and 57 percent, respectively, i.e., it increased with temperature until a certain level after which (40°C) the efficiency drastically dropped. The TN removal efficiencies were 63, 62, 73, 60 and 49 percent, respectively (the TN removal was not the main objective of this study, and the system was not set to have a proper anoxic-denitrification process). In addition, the MLVSS at the 35°C scenario was more than that at 15°C (2688 VS 1199 mg/l) eventhough the P removal efficiency was lower at the higher temperature, probably because at this 35°C, the proportion of the Glycogen Accumulating Organisms (GAOs) and Ordinary Heterotroph Organisms (OHOs) in the bacteria mass increased. In conclusion, the BPR efficiency at low temperatures (5, 15, 25°C) was better than at high temperatures (35 and 40°C). This means that the EBPR process will work better in the temperate climate than the tropical ones like ours (Thailand).

ภาควิชา.....วิศวกรรมสิ่งแวดล้อม.....
สาขาวิชา.....วิศวกรรมสิ่งแวดล้อม.....
ปีการศึกษา..... 2541.....

ลายมือชื่อนิสิต..... ปรียดา เหล่ารุจิจินดา.....
ลายมือชื่ออาจารย์ที่ปรึกษา..... J. Panswad.....
ลายมือชื่ออาจารย์ที่ปรึกษาร่วม.....



กิตติกรรมประกาศ

วิทยานิพนธ์ฉบับนี้สำเร็จลงได้ เนื่องมาจากบุคคลสำคัญยิ่งท่านหนึ่ง คือศาสตราจารย์ ดร.ธงชัย พรรณสวัสดิ์ อาจารย์ที่ปรึกษาวิทยานิพนธ์ ซึ่งได้มอบโอกาสอันดีในการทำงานวิจัยชิ้นนี้ ซึ่งไม่เพียงแต่จะได้รับความรู้ทั้งทางด้านวิชาการและการดำเนินชีวิต แต่ยังเป็นการยกระดับชีวิตของดิฉัน สร้างความรับผิดชอบ ความมั่นใจ และวินัยในการทำงานอีกด้วย ขอขอบพระคุณที่ท่านได้เสียสละแรงกาย แรงใจและเวลาอันมีค่าอย่างไม่เห็นแก่เหน็ดเหนื่อยเพื่อศิษย์มาโดยตลอด

ขอขอบคุณสำนักงานกองทุนสนับสนุนการวิจัย(สกว.)โดยทุนเมธีวิจัยอาวุโส ศาสตราจารย์ ดร. ธงชัย พรรณสวัสดิ์ ที่ได้ให้การสนับสนุนงานวิจัยชิ้นนี้สำเร็จลงได้ไปด้วยดี

ขอขอบพระคุณศาสตราจารย์ คลิฟฟอร์ด แรนคอก แห่งสถาบันเวอร์จิเนียโพลิเทคนิค และมหาวิทยาลัยรัฐเวอร์จิเนีย ประเทศสหรัฐอเมริกา ที่ได้ให้คำแนะนำและเป็นที่ปรึกษาทางด้านวิชาการ ดร.ชาญวิทย์ ไชยมิตานนท์ และคุณวิโรจน์ จากภาควิชาจุลชีววิทยา คณะวิทยาศาสตร์ จุฬาลงกรณ์มหาวิทยาลัย ที่ได้คำแนะนำและการช่วยเหลือมาโดยตลอด ทีมงานเมธีวิจัยที่ได้คำแนะนำ ความรู้ใหม่ๆ และร่วมแก้ไขปัญหา คณาจารย์ภาควิชาวิศวกรรมสิ่งแวดล้อมทุกท่านที่ได้ประสิทธิ์ประสาทวิชาความรู้และเจ้าหน้าที่ภาควิชาวิศวกรรมสิ่งแวดล้อมทุกท่านที่ให้ความช่วยเหลือและอำนวยความสะดวก

ขอขอบคุณพี่หมื่นน้อย พี่กุ้ง พี่ผึ้ง พี่ช ทรัพย์ อร พู๋ เมจิ หลิง จ้าย และคือน ที่ช่วยเหลือและให้กำลังใจ พี่อรรด ที่ช่วยซ่อมแซมและให้คำแนะนำด้านงานช่างทุกอย่าง พี่นก พี่ตุ๊ก พี่อ้อ พี่หนู และพี่เชอร์รี่ ที่ถ่ายทอดวิชาปฏิบัติการ พี่ต๋อง พี่วิทย์และอาร์ท สำหรับการทำงานเป็นทีม รวมทั้งพี่ๆ C7 C8 น้องๆ C9 และ C10 ที่เป็นเพื่อนร่วมห้องปฏิบัติการที่น่ารักเสมอมา

ขอขอบคุณคุณตราวุฒิ พงษ์ธรรมที่ช่วยเหลือและอยู่เคียงข้างเสมอทั้งในยามสุขและทุกข์

ท้ายที่สุดขอกราบขอบพระคุณคุณพ่อประคิษฐ์และคุณแม่จรัสศรีที่ได้มอบความรัก ความห่วงใย และทุกสิ่งทุกอย่างจนลูกมีวันนี้ได้ และพี่น้องทุกคน เจ๊ียบ ไข่ แจน ไก่เอ๊ก และกอบัวที่เป็นแรงใจเสมอ คุณความดีและประโยชน์ทั้งปวงอันเกิดจากวิทยานิพนธ์ฉบับนี้ขอมอบแด่ครอบครัวของผู้วิจัยทุกประการ

สารบัญ

	หน้า
บทคัดย่อภาษาไทย.....	ง
บทคัดย่อภาษาอังกฤษ.....	จ
กิตติกรรมประกาศ.....	ฉ
สารบัญ.....	ช
สารบัญตาราง.....	ญ
สารบัญรูป.....	ฎ
บทที่ 1. บทนำ.....	1
1.1 ความเป็นมาของงานวิจัย.....	1
1.2 วัตถุประสงค์ของการวิจัย.....	2
1.3 ขอบเขตของการวิจัย.....	2
บทที่ 2. ทบทวนเอกสาร.....	3
2.1 กระบวนการกำจัดธาตุอาหารทางชีวภาพ.....	3
2.2 การกำจัดไนโตรเจน.....	4
2.3 กระบวนการไนตริฟิเคชัน.....	7
2.3.1 หลักการพื้นฐาน.....	7
2.3.2 ปัจจัยที่มีผลต่อกระบวนการไนตริฟิเคชัน.....	9
2.4 กระบวนการดีไนตริฟิเคชัน.....	16
2.4.1 หลักการพื้นฐาน.....	16
2.4.2 ปัจจัยที่มีผลต่อกระบวนการดีไนตริฟิเคชัน.....	19
2.5 การกำจัดฟอสฟอรัส.....	24
2.5.1 หลักการพื้นฐาน.....	25
2.5.2 ปัจจัยที่มีผลต่อการกำจัดฟอสฟอรัสทางชีวภาพ.....	30
2.6 งานวิจัยที่ผ่านมาเกี่ยวกับผลของอุณหภูมิต่อกระบวนการบีโธนาเรีย..	41
2.6.1 ผลของอุณหภูมิต่ออัตราไนตริฟิเคชัน.....	41
2.6.2 ผลของอุณหภูมิต่ออัตราดีไนตริฟิเคชัน.....	43
2.6.3 ผลของอุณหภูมิต่อการกำจัดฟอสฟอรัส.....	45

	2.7 กระบวนการกำจัดน้ำเสียแบบเอสปิอาร์.....	51
	2.7.1 หลักการทำงานของระบบเอสปิอาร์.....	52
	2.7.2 ระบบเอสปิอาร์ในการกำจัดไนโตรเจนและฟอสฟอรัส.....	53
บทที่ 3	แผนการทดลองและการดำเนินการวิจัย.....	58
	3.1 แผนการทดลอง.....	58
	3.2 การดำเนินการทดลอง.....	59
	3.3 การเตรียมน้ำเสียสังเคราะห์.....	60
	3.4 วัฏจักรการทำงานของระบบ.....	61
	3.5 เครื่องมือและอุปกรณ์ที่ใช้ในการทดลอง.....	62
	3.6 การติดตั้งเครื่องมือและการทำงานของระบบ.....	65
	3.7 การเก็บตัวอย่างน้ำและการวิเคราะห์.....	66
	3.7.1 การเก็บตัวอย่างน้ำ.....	66
	3.7.2 วิธีที่ใช้ในการวิเคราะห์พารามิเตอร์.....	66
บทที่ 4	ผลการวิจัยและวิเคราะห์ผล.....	69
	4.1 ผลการทดลองและวิเคราะห์ผล.....	69
	4.1.1 อุณหภูมิ.....	69
	4.1.2 ออกซิเจนละลายน้ำ.....	72
	4.1.3 ไออาร์พี.....	74
	4.1.4 สภาพค้ำ.....	77
	4.1.5 พีเอช.....	79
	4.1.6 เอ็มแอลเอสเอสและเอ็มแอลวีเอสเอส.....	83
	4.1.7 ค่าของแข็งละลาย เอสวี30 และเอสวีไอ.....	92
	4.1.8 กรดระเหยง่าย.....	94
	4.1.9 ซีไอดี.....	97
	4.1.10 ทีเคเอ็น.....	100
	4.1.11 ไนโตรเจนทั้งหมด.....	103
	4.1.12 ไนโตรค์และไนเตรต.....	104
	4.1.13 ฟอสฟอรัสและพีเอชเอ.....	109

	4.1.14 อัตราการปลดปล่อยฟอสฟอรัส อัตราการปลดปล่อย ฟอสฟอรัสจำเพาะ อัตราการจับใช้ฟอสฟอรัสและ อัตราการจับใช้ฟอสฟอรัสจำเพาะ.....	115
บทที่ 5	สรุปผลและข้อเสนอแนะ.....	119
	5.1 สรุปผลการทดลอง.....	119
	5.2 ข้อเสนอแนะ.....	120
	รายการอ้างอิง.....	121
	ภาคผนวก.....	131
	ภาคผนวก ก. บันทึกการทดลอง.....	132
	ภาคผนวก ข. ข้อมูลชุดการทดลองที่ 1 – 5	140
	ภาคผนวก ค. ข้อมูลการทดลองหาอัตราการปลดปล่อยฟอสฟอรัส อัตราการปลดปล่อยฟอสฟอรัสจำเพาะ อัตราการจับใช้ ฟอสฟอรัสและอัตราการจับใช้ฟอสฟอรัสจำเพาะ.....	241
	ภาคผนวก ง. การควบคุมฟอสฟอรัสและไนโตรเจน.....	262
	ภาคผนวก จ. การประเมินลักษณะจุลินทรีย์ ๒ จากสถิติในถังบำบัดความ อุณหภูมิ.....	270
	ภาคผนวก ฉ. การคำนวณปริมาณสารที่ใช้ในการเตรียมน้ำเสียสังเคราะห์..	273
	ภาคผนวก ช. การหาค่าการระเหยง่ายโดยวิธีโทรเทอร์ชันและ วิธีก๊าซโครมาโตกราฟี.....	279
	ประวัติผู้เขียน.....	283

สถาบันวิทยบริการ
จุฬาลงกรณ์มหาวิทยาลัย

สารบัญตาราง

	หน้า
ตารางที่ 2.1 ช่วงความเข้มข้นของแอมโมเนียและไนไตรต์ที่เป็นพิษต่อ ไนโตรแบคทีเรียที่ค่าพีเอชต่างๆ ณ อุณหภูมิ 20 องศาเซลเซียส.....	12
ตารางที่ 2.2 ผลของเอสอาร์ทีต่ออัตราคิไนครีฟิเคชัน(1).....	23
ตารางที่ 2.3 ผลของเอสอาร์ทีต่ออัตราคิไนครีฟิเคชัน(2).....	23
ตารางที่ 2.4 ฟอสฟอรัสในน้ำเสียจากแหล่งชุมชน.....	25
ตารางที่ 2.5 อัตราการเกิดคิไนครีฟิเคชันจำเพาะที่อุณหภูมิต่างๆ.....	44
ตารางที่ 2.6 งานวิจัยที่ผ่านมาเกี่ยวกับระบบเอสอาร์.....	54
ตารางที่ 3.1 ส่วนประกอบของน้ำเสียสังเคราะห์.....	61
ตารางที่ 3.2 การทำงานของระบบเอสอาร์.....	61
ตารางที่ 3.3 วิธีที่ใช้ในการวิเคราะห์พารามิเตอร์.....	67
ตารางที่ 3.4 พารามิเตอร์และความถี่ที่ใช้ในการวิเคราะห์.....	68
ตารางที่ 4.1 อุณหภูมิเฉลี่ยของทุกชุดการทดลองที่สถานะคงตัว.....	70
ตารางที่ 4.2 ออกซิเจนละลายน้ำเฉลี่ยของทุกชุดการทดลองที่สถานะคงตัว.....	72
ตารางที่ 4.3 ไออาร์พีเฉลี่ยของทุกชุดการทดลองที่สถานะคงตัว.....	75
ตารางที่ 4.4 สภาพค่างเฉลี่ยของทุกชุดการทดลองที่สถานะคงตัว.....	77
ตารางที่ 4.5 พีเอชเฉลี่ยของทุกชุดการทดลองที่สถานะคงตัว.....	81
ตารางที่ 4.6 ผลการข้อมแกรม.....	84
ตารางที่ 4.7 ผลการข้อมโพลีฟอสเฟตแกรม.....	85
ตารางที่ 4.8 ผลการข้อมพีเอชบีแกรม.....	86
ตารางที่ 4.9 ปริมาณ strictly anaerobic organisms.....	87
ตารางที่ 4.10 ปริมาณ aerobic organisms.....	88
ตารางที่ 4.11ก เอ็มแอลเอสเอสและเอ็มแอลวีเอสเอสของทุกชุดการทดลอง ที่สถานะคงตัว.....	89
ตารางที่ 4.11ข ค่าของแข็งแขวนลอยเฉลี่ย เอสวี 30 เฉลี่ย และเอสวีไอเฉลี่ย ของทุกชุดการทดลองที่สถานะคงตัว.....	92
ตารางที่ 4.12 กรดระเหยง่ายเฉลี่ยของทุกชุดการทดลองที่สถานะคงตัว.....	95

ตารางที่ 4.13	ซีไอดีเฉลี่ยและประสิทธิภาพการกำจัดซีไอดีกรองเฉลี่ยของทุกชุด การทดลองที่สถานะคงตัว.....	99
ตารางที่ 4.14	ทีเคเอ็นเฉลี่ยของทุกชุดการทดลองที่สถานะคงตัว.....	101
ตารางที่ 4.15	ไนโตรเจนทั้งหมดเฉลี่ยของทุกชุดการทดลองที่สถานะคงตัว.....	103
ตารางที่ 4.16	ไนโตรเจนเฉลี่ยของทุกชุดการทดลองที่สถานะคงตัว.....	104
ตารางที่ 4.17	ไนเตรตเฉลี่ยของทุกชุดการทดลองที่สถานะคงตัว.....	105
ตารางที่ 4.18	ฟอสฟอรัสและประสิทธิภาพการกำจัดฟอสฟอรัสทางชีวภาพ ของทุกชุดการทดลองที่สถานะคงตัว.....	109
ตารางที่ 4.19	อัตราการปลดปล่อยฟอสฟอรัสและอัตราการปลดปล่อยฟอสฟอรัส จำเพาะที่อุณหภูมิต่างๆ.....	116
ตารางที่ 4.20	อัตราการจับไฟฟอสฟอรัสและอัตราการจับไฟฟอสฟอรัสจำเพาะ ที่อุณหภูมิต่างๆ.....	118

สารบัญรูป

		หน้า
รูปที่ 2.1	วัฏจักรของฟอสฟอรัสและ ไนโตรเจนในระบบนิเวศน์.....	3
รูปที่ 2.2	วัฏจักรไนโตรเจนและผลกระทบที่เกิดขึ้น.....	6
รูปที่ 2.3	กระบวนการในการเปลี่ยนรูปไนโตรเจน.....	7
รูปที่ 2.4	ความสัมพันธ์ของไนโตรเจนรูปต่างๆกับระยะเวลาที่เปลี่ยนไป.....	7
รูปที่ 2.5	ผลของค่าออกซิเจนละลายน้ำต่ออัตราการเกิดไนตริฟิเคชัน.....	10
รูปที่ 2.6	ผลของพีเอชต่อการเกิดไนตริฟิเคชัน.....	11
รูปที่ 2.7	ผลของเอสอาร์ที่ต่ออัตราการเกิดไนตริฟิเคชัน.....	13
รูปที่ 2.8	ลักษณะของจุลชีพในระบบที่มีค่าเอสอาร์ที่และอัตราส่วนอาหารต่อมวล จุลชีพต่างกัน.....	13
รูปที่ 2.9	ผลของโซเดียมคลอไรด์ต่อประสิทธิภาพการกำจัดไนโตรเจนในระบบที่ จุลชีพถูกเลี้ยงให้คุ้นกับความเค็มและไม่คุ้นกับความเค็มมาก่อน.....	15
รูปที่ 2.10	ผลของสังกะสีต่อประสิทธิภาพการกำจัดไนโตรเจน.....	15
รูปที่ 2.11	ผลของซีโอไซด์ต่อการออกซิไดส์แอมโมเนีย.....	16
รูปที่ 2.12	ผลของพีเอชต่ออัตราการเกิดดีไนตริฟิเคชัน.....	19
รูปที่ 2.13	ผลของออกซิเจนละลายน้ำต่ออัตราดีไนตริฟิเคชัน(1).....	20
รูปที่ 2.14	ผลของออกซิเจนละลายน้ำต่ออัตราดีไนตริฟิเคชัน(2).....	20
รูปที่ 2.15	ผลของเอสอาร์ที่ในถังแอนีอกซิกที่มีต่ออัตราดีไนตริฟิเคชัน.....	22
รูปที่ 2.16	ผลของสังกะสีต่อกระบวนการดีไนตริฟิเคชัน.....	24
รูปที่ 2.17	กลไกการกำจัดฟอสฟอรัสภายใต้สภาวะแอนโรบิกและแอโรบิก.....	28
รูปที่ 2.18	ผลของบีโอดีละลายและฟอสฟอรัสที่เกิดขึ้นในระบบ.....	29
รูปที่ 2.19	ผลของอัตราส่วน TBOD5 : TP ต่อปริมาณฟอสฟอรัสละลายในน้ำออก ของระบบบิฟิอาร์.....	31
รูปที่ 2.20	การจับใช้ชะชิตที่พีเอชต่างๆ.....	32
รูปที่ 2.21	การจับใช้ชะชิตและการปลดปล่อยฟอสฟอรัสที่พีเอชต่างๆ.....	33
รูปที่ 2.22	ผลของเวลากักน้ำต่อระบบบิฟิอาร์ที่อัตราส่วนซีโอดีทั้งหมดต่อฟอสฟอรัส ทั้งหมดเท่ากับ 42-68 และ 20-43.....	35

รูปที่ 2.23	ความถี่พีดของพีเอชกับอัตราการปลดปล่อยฟอสฟอรัสต่อการจับใช้ อะซิเตด.....	37
รูปที่ 2.24	การปลดปล่อยฟอสฟอรัสที่ค่าพีเอชต่างๆ.....	38
รูปที่ 2.25	ผลของพีเอชต่อการจับใช้อะซิเตดและการปลดปล่อยฟอสฟอรัส.....	39
รูปที่ 2.26	ประสิทธิภาพของระบบที่สถานะคงตัวที่ปริมาณโซเดียมคลอไรด์ 0.03%..	40
รูปที่ 2.27	ประสิทธิภาพของระบบที่สถานะคงตัวที่ปริมาณโซเดียมคลอไรด์ 0.5%..	41
รูปที่ 2.28	ผลของอุณหภูมิต่ออัตราไนตริฟิเคชัน.....	42
รูปที่ 2.29	ผลของอุณหภูมิต่ออัตราการเจริญเติบโตจำเพาะสูงสุดของไนตริฟายอิง แบคทีเรีย.....	43
รูปที่ 2.30	ผลของอุณหภูมิต่ออัตราการเกิดดีไนตริฟิเคชัน(1).....	44
รูปที่ 2.31	ผลของอุณหภูมิต่ออัตราการเกิดดีไนตริฟิเคชัน(2).....	45
รูปที่ 2.32	ขั้นตอนการทำงานของระบบเอทีอาร์.....	53
รูปที่ 2.33	ระบบเอทีอาร์ในกระบวนการกำจัดไนโตรเจนและฟอสฟอรัส.....	57
ภาพที่ 3.1	ถึงปฏิกรณ์ควบคุมอุณหภูมิอัตโนมัติ.....	63
รูปที่ 3.2	การติดตั้งเครื่องมือในการทดลอง.....	65
รูปที่ 4.1	อุณหภูมิในระบบของทุกชุดการทดลองที่สถานะคงตัว.....	70
รูปที่ 4.2	อุณหภูมิในช่วงเดินระบบและช่วงสถานะคงตัวของทุกชุดการทดลอง.....	71
รูปที่ 4.3	ออกซิเจนละลายน้ำในช่วงเดินระบบและช่วงสถานะคงตัวของทุกชุด การทดลอง.....	73
รูปที่ 4.4	ออกซิเจนละลายน้ำในระบบของทุกชุดการทดลองที่สถานะคงตัว.....	74
รูปที่ 4.5	ไออาร์พีในระบบของทุกชุดการทดลองที่สถานะคงตัว.....	75
รูปที่ 4.6	ไออาร์พีในช่วงเดินระบบและช่วงสถานะคงตัวของทุกชุดการทดลอง.....	76
รูปที่ 4.7	สภาพต่างกรองในระบบของทุกชุดการทดลองที่สถานะคงตัว.....	77
รูปที่ 4.8	สภาพต่างในช่วงเดินระบบและช่วงสถานะคงตัวของทุกชุดการทดลอง.....	78
รูปที่ 4.9	พีเอชในช่วงเดินระบบและช่วงสถานะคงตัวของทุกชุดการทดลอง.....	80
รูปที่ 4.10	พีเอชในระบบของทุกชุดการทดลองที่สถานะคงตัว.....	81
รูปที่ 4.11	เอ็มแอลเอสเอสและเอ็มแอลจีเอสเอสของระบบที่อุณหภูมิต่างๆ.....	89
รูปที่ 4.12	ผลของอุณหภูมิต่อปริมาณจุลชีพ.....	90

รูปที่ 4.13	เอ็มแอลเอสเอสและเอ็มแอลวีเอสเอสในช่วงเดินระบบและช่วงสถานะ คงตัวของทุกชุดการทดลอง.....	91
รูปที่ 4.14	ของแข็งแขวนลอย เอสวี30 และเอสวีไอในระบบของทุกชุดการทดลอง ที่สถานะคงตัว.....	93
รูปที่ 4.15	ของแข็งแขวนลอย เอสวี30 และเอสวีไอในช่วงเดินระบบและช่วงสถานะ คงตัวของทุกชุดการทดลอง.....	94
รูปที่ 4.16	กรกระเหยง่ายในช่วงเดินระบบและช่วงสถานะคงตัวของทุกชุดการทดลอง	96
รูปที่ 4.17	กรกระเหยง่ายตามเวลาของทุกชุดการทดลองโดยการวัดด้วยวิธีก๊าซ โครมาโตกราฟี.....	97
รูปที่ 4.18	ซีไอดีในช่วงเดินระบบและช่วงสถานะคงตัวของทุกชุดการทดลอง.....	98
รูปที่ 4.19	ซีไอดีในระบบของทุกชุดการทดลองที่สถานะคงตัว.....	99
รูปที่ 4.20	ทีเคเอ็นในระบบของทุกชุดการทดลองที่สถานะคงตัว.....	101
รูปที่ 4.21	ทีเคเอ็นในช่วงเดินระบบและช่วงสถานะคงตัวของทุกชุดการทดลอง.....	102
รูปที่ 4.22	ไนโตรดีในระบบของทุกชุดการทดลองที่สถานะคงตัว.....	105
รูปที่ 4.23	ไนโตรดีในช่วงเดินระบบและช่วงสถานะคงตัวของทุกชุดการทดลอง.....	106
รูปที่ 4.24	ไนเตรดในระบบของทุกชุดการทดลองที่สถานะคงตัว.....	107
รูปที่ 4.25	ไนเตรดในช่วงเดินระบบและช่วงสถานะคงตัวของทุกชุดการทดลอง...	108
รูปที่ 4.26	ประสิทธิภาพการกำจัดฟอสฟอรัสทางชีวภาพ ในเอ็มแอลวีเอสเอส และในน้ำออกที่อุณหภูมิต่างๆ.....	110
รูปที่ 4.27	ปริมาณฟอสฟอรัสในถังปฏิกิริยาและในน้ำออกที่อุณหภูมิต่างๆ.....	111
รูปที่ 4.28	ปริมาณทีเอชเอในเอ็มแอลเอสเอสตามระยะเวลา ณ สถานะคงตัวที่ อุณหภูมิต่างๆ.....	111
รูปที่ 4.29	ฟอสฟอรัสในช่วงเดินระบบและช่วงสถานะคงตัวของทุกชุดการทดลอง...	112
รูปที่ 4.30	ฟอสฟอรัสละลายตามระยะเวลา ณ สถานะคงตัวที่อุณหภูมิต่างๆ.....	113
รูปที่ 4.31	อัตราการปลดปล่อยฟอสฟอรัสและอัตราการปลดปล่อยฟอสฟอรัส จำเพาะที่อุณหภูมิต่างๆ.....	116
รูปที่ 4.32	อัตราการจับใช้ฟอสฟอรัสและอัตราการจับใช้ฟอสฟอรัสจำเพาะที่อุณหภูมิ ต่างๆ.....	117